

Original Article

The Effects of Ceftriaxone on Histology, Histomorphometry, and Histochemistry of Testis and Sperm Characteristics in Mice

Shapour Hasanzadeh^{1*}, Gholamreza Najafi², Hamid Reza Pirdehghan³, Farzaneh Bonyadi¹

¹Department of Basic Veterinary Sciences, Histology & Embryology Section, Faculty of Veterinary Medicine, Urmia University, Urmia, Iran.

²Department of Basic Veterinary Sciences, Anatomy Section, Faculty of Veterinary Medicine, Urmia University, Urmia, Iran.

³Faculty of Veterinary Medicine, Urmia University, Urmia, Iran.

***Corresponding Author:**
Shapoor Hasanzadeh,
Department of Basic Veterinary Sciences,
Histology & Embryology Section, Faculty of Veterinary Medicine, Urmia University, Urmia, Iran.

Email:
s.hasanzadeh@urmia.ac.ir

Received: 7 Oct, 2015

Accepted: 6 Nov, 2015

Abstract

Background and Objectives: Ceftriaxone is a third-generation cephalosporin antibiotic, which has a broad-spectrum activity against bacteria. Recently, its adverse effects on the reproductive system, was revealed. The aim of this study was to investigate the adverse effects of ceftriaxone on testicular tissue in adult male mice.

Methods: A total of 40 adult male mice were randomly divided into 5 groups: Control group received normal saline; the first and second experimental groups, respectively, received ceftriaxone at doses of 20 and 50mg/kg bw for 7 days; and the third and fourth groups, respectively, received 20 and 50mg/kg bw of the drug for 45 days. After preparation of tissue sections, routine and specific staining was performed, and histological, histomorphometric, and histochemical studies were carried out. The data were analyzed by one-way ANOVA and Tukey's test. Significance level was considered as $p<0.05$.

Results: The histological evaluations in experimental groups showed changes as atrophy of some seminiferous tubules, decrease in the spermatogenesis and sertoli as well as disruption and disintegration. Morphometric studies showed significant decreases ($p<0.05$) in the mean diameter of seminiferous tubules, testicular capsule, thickness of epithelium of seminiferous tubules, distribution of leydig cells and lymphocytes, and insignificant increase ($p>0.05$) in the interstitial tissue thickness in all the experimental groups compared to the control group. In the experimental groups, Sudan Black and alkaline phosphatase reactions were intense, while PAS reaction was weak.

Conclusion: Ceftriaxone damages testicular structure, which includes loss of balance of the spermatogenic cell population and decrease in the spermatogenesis and spermogenesis processes.

Keywords: Ceftriaxone; Testis; Spermatogenesis; Histology; Histochemistry.

تأثیر سفترياکسون بر هیستولوژی، هیستومورفومتری، هیستوشیمی بافت بیضه و خصوصیات اسپرم در موش سوری

شاپور حسن‌زاده^{*}، غلامرضا نجفی^۱، حمیدرضا پیردهقان^۲، فرزانه بنیادی^۱

چکیده

زمینه و هدف: سفترياکسون آنتی‌بیوتیکی از نسل سوم خانواده سفالوسپورین‌ها بوده و اثر وسیع‌الطیفی بر باکتری‌ها دارد. اخیراً نیز اثرات سوء آن بر سیستم تولیدمثلی مطرح شده است. این مطالعه با هدف اصلی بررسی اثرات نامطلوب سفترياکسون بر بافت بیضه در موش سوری بالغ انجام شد.

روش بورسی: ۴۰ قطعه موش سوری نر بالغ به‌طور تصادفی در پنج گروه دسته‌بندی شدند: گروه کنترل که سرم فیزیولوژی دریافت کردند؛ گروه‌های آزمایشی اول و دوم داروی سفترياکسون را به ترتیب با دوزهای ۲۰ و ۵۰ میلی‌گرم بر کیلوگرم وزن بدن به مدت ۷ روز و گروه‌های سوم و چهارم این دارو را در دوزهای ۲۰ و ۵۰ میلی‌گرم بر کیلوگرم وزن بدن به مدت ۴۵ روز دریافت کردند. پس از تهیه مقاطع بافتی، رنگ‌آمیزی‌های معمولی و اختصاصی اعمال شد و مطالعات بافت‌شناسی، هیستومورفومتری و هیستوشیمی انجام گرفت. داده‌ها با آنالیز واریانس یک‌طرفه و تست توکی تجزیه و تحلیل شدند. سطح معنی‌داری، $p < 0.05$ در نظر گرفته شد.

یافته‌ها: بررسی‌های بافتی در گروه‌های آزمایشی، تغییرات را به صورت تحلیل بعضی از لوله‌های اسپرم‌ساز، کاهش سلول‌های سری اسپرماتوژنر و سرتولی، همچنین بهم‌ریختگی و عدم انسجام نشان داد. مطالعات مورفومتریک، کاهش معنی‌داری ($p < 0.05$) در میانگین قطر لوله‌های سمنی‌فر، کپسول بیضه، ضخامت اپی‌تیلیوم لوله‌های سمنی‌فر، پراکندگی سلول‌های لیدیک و لمفوسيت‌ها و افزایش غیرمعنی‌داری ($p < 0.05$) در ضخامت بافت بینایی نسبت به گروه کنترل نشان داد. در گروه‌های آزمایشی واکنش‌های سودان بلاک و آلkalین فسفاتاز، شدید؛ در حالی که واکنش پاس (PAS)، ضعیف بود.

نتیجه‌گیری: سفترياکسون سبب اختلال در ساختار بافت بیضه می‌شود که این اختلال شامل از بین رفتن توازن جمعیت سلول‌های سری اسپرماتوژنر، کاهش روند اسپرماتوژنر و اسپرمیوژنر می‌باشد.

کلید واژه‌ها: سفترياکسون؛ بیضه؛ اسپرماتوژنر؛ بافت‌شناسی؛ هیستوشیمی.

گروه علوم پایه دامپزشکی، بخش بافت‌شناسی و جنین‌شناسی، دانشکده دامپزشکی، دانشگاه ارومیه، ارومیه، ایران.

گروه علوم پایه دامپزشکی، بخش آناتومی، دانشکده دامپزشکی، دانشگاه ارومیه، ارومیه، ایران.

دانشکده دامپزشکی، دانشگاه ارومیه، ارومیه، ایران.

*نویسنده مسئول مکاتبات:

شاپور حسن‌زاده^{*}، گروه علوم پایه دامپزشکی، بخش بافت‌شناسی و جنین‌شناسی، دانشکده دامپزشکی، دانشگاه ارومیه، ارومیه، ایران؛

آدرس پست الکترونیکی:

s.hasanzadeh@urmia.ac.ir

تاریخ دریافت: ۹۴/۷/۱۶

تاریخ پذیرش: ۹۴/۸/۱۶

لطیفَه این مقاله به صورت زیر استناد نمایید:

Hasanzadeh Sh, Najafi GhR, Pirdehghan HR, Bonyadi F. The effects of ceftriaxone on histology, histomorphometry, and histochemistry of testis and sperm characteristics in mice.

Qom Univ Med Sci J 2016;10(6):1-12. [Full Text in Persian]

مقدمه

تحقیقات نشان داده‌اند در پی تجویز سفتریاکسون، سنگ‌های صفرایی تشکیل می‌شوند. این عمل متعاقب متصل شدن نمک‌های کلسیم با سفتریاکسون (به خصوص در دوزهای بالاتر از ۲ گرم)، هنگام آزادشدن صفراء انجام می‌گیرد (۷). از دیگر اثرات نامطلوب سفتریاکسون می‌توان به تشکیل سنگ‌های ادراری با کلسیم آزاد ادرار (۸)، هپاتیت ناشی از سفتریاکسون (۹) و هیپوپروترومبینمی (Hypoprothrombinemia) حاصل از مصرف سفتریاکسون اشاره کرد (۱۰). همچنین نشان داده شده است سفتریاکسون هیچ اثر محربی بر آنزیم هیالورونید موجود در کیسه آکروزومی ندارد، ولی با این حال باعث اختلال اسپرم در طی ۲۸۸ ساعت در قوچ نر می‌شود (۱۱). گزارش دیگری نیز وجود دارد که نشان می‌دهد تزریق داروی سفتریاکسون بر موش‌های آلبینوی نر باعث کاهش وزن بیضه، اپیدیدیم و اندام‌های ضمیمه جنسی، همچنین کاهش تعداد، تحرک اسپرم‌ها و افزایش اسپرم‌های غیرطبیعی می‌گردد (۱۲).

براساس این گزارشها، سفتریاکسون دارای اثرات سوء بسیاری می‌باشد، ولی تحقیقات در این مورد ناکافی بوده و از طرفی دیگر، این دارو در حال حاضر در چرخه کاربردی است، به طوری که در کشور ایران پنی‌سیلین‌ها و سفالوسپورین‌ها، جزء پرصرف‌ترین آنتی‌بیوتیک‌ها هستند. تاکنون مطالعه‌ای در جهت بررسی اثرات سفتریاکسون بر ساختار بافت بیضه موش سوری در جنس نر صورت نگرفته است. از این‌رو در این مطالعه اثر سفتریاکسون بر تغییرات بافت‌شناسی و هیستوشیمیابی بیضه در موش سوری بررسی گردید.

روش بررسی

در این مطالعه تجربی از تعداد ۴۰ قطعه موش سوری (Bulb/c) با وزن 23 ± 1 گرم استفاده شد. موش‌ها در قفس‌های مخصوص و در شرایط استاندارد (۱۲ ساعت روشنایی و ۱۲ ساعت تاریکی، دمای 22 ± 2 درجه سانتی‌گراد و رطوبت 52%) نگهداری شدند. تمامی حیوانات در شرایط تغذیه‌ای یکسان با گندم، پلیت مخصوص موش سوری و آب شیر معمولی تغذیه شدند.

داروی سفتریاکسون (Hospira Inc. 275 North field Drive, Illinois- USA lake Forest, Illinois- USA) تهیه و مورد استفاده قرار گرفت.

به دلیل استفاده زیاد از آنتی‌بیوتیک‌ها، مطالعه اثرات سوء آنها ضروری به نظر می‌رسد. استفاده بی‌رویه از آنتی‌بیوتیک‌ها علاوه بر ایجاد مقاومت باکتریایی، اثرات زیانباری نیز بر سایر اعضای بدن در پی دارد. آنتی‌بیوتیک‌ها جزء عوامل محیطی و استرسی بوده که اثرات آنها بر باروری کمتر مورد توجه قرار گرفته است، این در حالی است که گزارش‌هایی در مورد اثرات سوء برخی از آنها بر باروری جنس نر ارائه شده است (۱). به طور کلی آنتی‌بیوتیک‌های تأثیرگذار بر باروری جنس نر که تاکنون ثابت شده‌اند شامل: آمینوگلیکوزیدها، مونوسایکلین‌ها و سولفosalازین‌ها می‌باشند. کاهش توان باروری جنس نر و ماده نیز می‌تواند به عنوان یکی از اثرات جانبی استفاده از آنتی‌بیوتیک‌ها مطرح گردد. براساس گزارش‌های دو دهه گذشته، کاهش چشمگیری در کیفیت اسپرم انسان مشاهده شده است (۲). کاهش کیفیت اسپرم اغلب وابسته به عوامل محیطی است. مواد شیمیابی و داروهایی که به طور نادرست مصرف می‌شوند، از جمله این عوامل محسوب می‌شوند (۳). آنتی‌بیوتیک‌های تتراسایکلین، اریترومایسین و کوتريموكسازول؛ اثرات منفی غیرقابل برگشتی بر اسپرم داشته و باعث کاهش حرکت و توانایی حیات اسپرم در شرایط آزمایشگاهی (in vitro) می‌شوند (۴). سفتریاکسون، آنتی‌بیوتیکی وسیع‌الطیف از نسل سوم خانواده سفالوسپورین‌ها بوده که در حال حاضر برای مقابله با باکتری‌های گرم مثبت و گرم منفی و درمان عفونت‌های تنفسی، دستگاه ادراری مثل سوزاک، استخوان و مفصل، پوست و منتشریت در انسان مورد استفاده قرار می‌گیرد. سفتریاکسون (با فرمول $C_{18}H_{18}N_8O_7S_3$ و وزن مولکولی ۵۵۴/۵۸ گرم برمول) برای تجویز داخل وریدی و داخل عضلانی در درمان عفونت‌های باکتریایی استفاده می‌شود. این آنتی‌بیوتیک با اختلال در سنتز دیواره سلولی از طریق ممانعت از تولید پپتید و گلیکان، سبب تخریب باکتری می‌شود (۵). گزارش‌هایی در مورد واکنش‌های دارویی جانبی در استفاده همزمان سفتریاکسون داخل وریدی و کلسیم در نوزادان و کودکان موجود است. همچنین گزارشی مبنی بر عوارض استفاده از سفتریاکسون در دوزهای بالاتر از دوز توصیه شده توسط سازمان غذا و داروی آمریکا، از طریق تزریق داخل وریدی با فشار بالا وجود دارد (۶).

اسپرم‌ساز (Thickness of epithelium) و ضخامت بافت بینایینی بیضه (Thickness of interstitial tissue) با استفاده از عدسی چشمی مدرج در گروه‌های مختلف اندازه‌گیری شد. برای شمارش تعداد سلول‌های لیدیک و لمفوسيت‌ها نیز از عدسی مشبك استفاده گردید.

برای ارزیابی اسپرماتوژن در لوله‌های منی‌ساز، پارامترهای ضرب بتمایز لوله‌ای (Tubular Differentiation Index, TDI) ضرب اسپرمیوژن (Spermiogenesis Index, SPI) و ضرب جایگزینی (Repopulation Index, RI) مجدد اسپرماتوگونی‌های فعال (Periodic Acid Schiff, PAS) و اندیکس سلول‌های سرتولی (SI= Sertoli Index) محاسبه شدند. مطالعات هیستوشیمی (شامل روش‌های سودان بلاک) برای ارزیابی چربی‌ها و آلکالین فسفاتاز جهت ارزیابی فعالیت آنزیم آلکالین فسفاتاز در بافت بیضه گروه‌های کنترل و آزمایشی به کار برده شد. گلیکوژن و مواد حاوی کربوهیدرات نیز از طریق روش پاس (Periodic Acid Schiff, PAS) بررسی گردید.

داده‌ها به کمک نرمافزار SPSS نسخه ۱۶، روش آماری واریانس یک‌طرفه و تست تعقیبی توکی تجزیه و تحلیل شدند. سطح معنی‌داری، $p < 0.05$ در نظر گرفته شد.

تمامی مراحل این تحقیق تحت نظارت کمیته حمایت از حیوانات آزمایشگاهی دانشکده دامپزشکی ارومیه و با کسب مجوز از کمیته اخلاقی دانشگاه ارومیه (به شماره ۱۸۹/۳/پ) انجام گرفت.

یافته‌ها

مشاهدات بافت‌شناسی نشان دادند در گروه‌های آزمایشی، کاهشی در جمعیت سلول‌های سری اسپرماتوژن و سرتولی، همچنین عدم انسجام آنها در مقایسه با گروه کنترل وجود دارد. در گروه‌های آزمایشی، نظم هندسی لوله‌های سمنی فر بهم خورده و یک نوع روی هم خوابیدگی در لوله‌ها دیده شد. در برخی گروه‌های آزمایشی لوله‌های خالی از هر نوع سلول، بهخصوص سلول‌های سری اسپرماتوژن مشاهده گردید. در بافت بینایینی نیز تغییراتی همچون ادم، بهم ریختگی تجمعات لنفاوی و پراکنده شدن گروه‌های سلول‌های لیدیک دیده شد (شکل شماره ۱).

متتعاقب یک‌هفته سازگاری با شرایط محیط و پس از توزین، موش‌های سوری به صورت تصادفی به ۵ گروه ۸ تایی به شرح زیر تقسیم شدند:

۱- گروه کنترل (C): حیوانات این گروه به عنوان شاهد، سرم فیزیولوژی را به صورت تزریق داخل صفاقی (IP= IntraPeritoneal) دریافت کردند.

۲- گروه آزمایشی ۱ (T1): حیوانات این گروه سفتریاکسون را (به میزان ۲۰ میلی گرم به‌ازای کیلو گرم وزن بدن) به صورت داخل صفاقی به مدت ۷ روز دریافت کردند.

۳- گروه آزمایشی ۲ (T2): به حیوانات این گروه سفتریاکسون (به میزان ۵۰ میلی گرم به‌ازای کیلو گرم وزن بدن) به صورت داخل صفاقی به مدت ۷ روز داده شد.

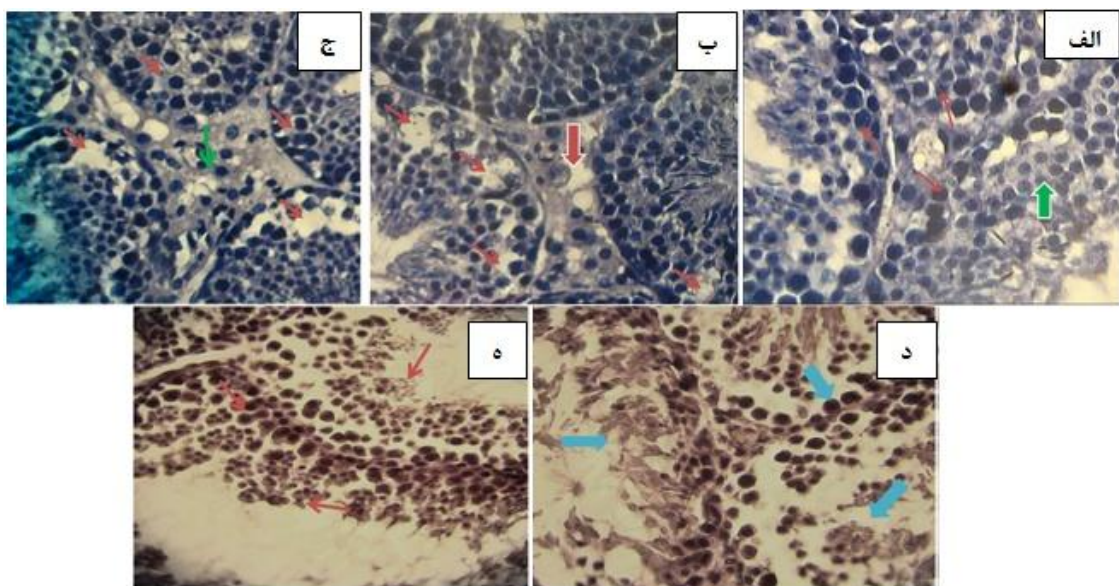
۴- گروه آزمایشی ۳ (T3): حیوانات این گروه سفتریاکسون را (به میزان ۲۰ میلی گرم به‌ازای کیلو گرم وزن بدن) به صورت داخل صفاقی به مدت ۴۵ روز دریافت کردند.

۵- گروه آزمایشی ۴ (T4): به حیوانات این گروه سفتریاکسون (به میزان ۵۰ میلی گرم به‌ازای کیلو گرم وزن بدن) به صورت داخل صفاقی به مدت ۴۵ روز داده شد.

موازن اخلاقی در طول به کار گیری حیوانات آزمایشگاهی رعایت گردید.

{لازم به ذکر است مقدار سفتریاکسون مؤثر (LD50) در موش سوری براساس بروشور شرکت تولیدکننده، برابر با ۲۲۰۰ میلی گرم به‌ازای کیلو گرم وزن بدن بوده است (HospiraCo-USA).

پس از آسان‌کشی حیوانات، سریعاً تاچیه شکم آنها باز و بیضه‌ها به‌طور کامل برداشته شدند. نمونه‌های تهیه شده بلافصله در داخل ماده ثابت کننده فرمالین بافری ۱۰٪ به مدت یک‌هفته ثبیت شدند. تمامی نمونه‌ها پس از اصلاح، تحت روند تهیه مقاطع بافتی قرار گرفتند. پس از برش‌های ممتد ۷ میکرومتری، با روش هماتوکسیلین - اوزین، رنگ‌آمیزی و به‌وسیله میکروسکوپ نوری مورد مطالعه قرار گرفتند. بدین منظور، پس از تهیه مقاطع بافتی، قطر لوله‌های اسپرم‌ساز، ضخامت کپسول بیضه (Thickness of Capsule)، ضخامت اپی‌تیلیوم در لوله‌های



شکل شماره ۱: مقایسه مقاطع لوله‌های منی‌ساز مربوط به گروه‌های مختلف.

الف) گروه کنترل: بافت بینایینی طبیعی در بین لوله‌های منی‌ساز و ضخامت مناسب اپی‌تیلیوم زایگر لوله‌های منی‌فر دیده می‌شود. فلاش سبز رنگ تعدادی از سلول‌های اسپرماتید سالم و فلاش قرمز رنگ سلول‌های اسپرماتوسیت نوع یک سالم را نشان می‌دهند.

ب) گروه آزمایشی ۱: حفره‌های وسیع در بین سلول‌های زایگر لوله‌های اسپرم‌ساز به‌وسیله فلاش قرمز رنگ نشان داده است.

ج) گروه آزمایشی ۲، حفره‌های وسیع در بین لایه‌های سلول‌های زایگر لوله‌های اسپرم‌ساز به‌وسیله فلاش سبز رنگ نشان داده شده است. لیدیک به‌وسیله فلاش سبز رنگ نشان داده است.

د) گروه آزمایشی ۳: عدم انسجام سلول‌های زایگر در سه لوله منی‌فر کنار هم با فلاش‌های آبی رنگ مشخص شده است.

۵) گروه آزمایشی ۴: فلاش‌های قرمز رنگ، عدم انسجام سلول‌های زایگر لوله‌های اسپرم‌ساز را نشان می‌دهند. (رنگ آمیزی هماتوکسیلین - انوزین، بزرگنمایی $\times 400$)

این پارامتر در گروه‌های آزمایشی با گروه کنترل دارای اختلاف معنی‌داری می‌باشد. همچنین تمامی گروه‌های آزمایشی، کاهش معنی‌داری در توزیع سلول‌های لیدیک نسبت به گروه کنترل نشان دادند. بین دو گروه آزمایشی T1 و T2 نیز اختلاف معنی‌داری وجود داشت. گروه‌های آزمایشی T1 و T2، کاهش معنی‌داری در توزیع لمفوسيت‌ها نسبت به گروه کنترل نشان دادند. در مقایسه بین گروه‌ها، تنها گروه T3 دارای اختلاف معنی‌دار با سایر گروه‌ها بود (جدول شماره ۱).

گروه‌های آزمایشی T1، T2 و T3، کاهش معنی‌داری در قطر لوله اسپرم‌ساز نسبت به گروه کنترل نشان دادند. ضخامت کپسول بیضه در گروه‌های آزمایشی T1، T2 و T3، کاهش معنی‌داری را نسبت به گروه کنترل نشان داد. براساس این آنالیز، کاهش در ضخامت کپسول گروه‌های T1، T2 و T3 و افزایش در ضخامت کپسول T4 دیده شد. ضخامت اپی‌تیلیوم، اختلاف معنی‌داری بین گروه‌های T1 و گروه کنترل نشان داد. با این حال در تمامی گروه‌های آزمایشی کاهش در ضخامت اپی‌تیلیوم مشاهده گردید. آنالیزهای آماری در مورد ضخامت بافت بینایینی بیضه نشان دادند

جدول شماره ۱. پارامترهای مورفومتریک در بافت بیضه

پارامترها	گروه ۴ (T4)	گروه ۳ (T3)	گروه ۲ (T2)	گروه ۱ (T1)	کنترل (C)	گروه ۵
قطر لوله‌های اسپرم‌ساز (مول بر متر)	$156/54 \pm 3/0.77^b$	$148/39 \pm 1/5.07^b$	$143/79 \pm 3/0.13^b$	$143/79 \pm 0/83^b$	$167/20 \pm 4/18^a$	
ضخامت کپسول بیضه (مول بر متر)	$20/8.1 \pm 1/1.87^a$	$12/9.5 \pm 1/1.07^b$	$14/21 \pm 1/6.70^b$	$15/0.4 \pm 1/4.46^b$	$23/8.2 \pm 0.724^a$	
ضخامت اپی‌تیلیوم لوله‌های اسپرم‌ساز (مول بر متر)	$48/9.0 \pm 4/4.03^b$	$41/38 \pm 3/6.19^b$	$43/0.5 \pm 2/9.25^b$	$47/6.5 \pm 1/4.49^b$	$58/5.2 \pm 2/0.90^a$	
ضخامت بافت بینایینی بیضه (مول بر متر)	$48/9.0 \pm 4/4.03^b$	$41/38 \pm 3/6.19^b$	$43/0.5 \pm 2/9.25^b$	$47/6.6 \pm 1/4.49^b$	$35/5.2 \pm 1/5.07^a$	
تعداد سلول‌های لیدیک (میلی‌مترمربع)	$62/20.0 \pm 1/1.54^c$	$62/6.6 \pm 1/7.62^c$	$66/0.0 \pm 1/1.54^c$	$58/0.0 \pm 1/1.54^b$	$79/6.6 \pm 2/6.03^a$	
تعداد لنفوسيت‌ها (میلی‌مترمربع)	$73/10.0 \pm 2/3.09^b$	$89/3.3 \pm 2/4.02^c$	$82/6.6 \pm 2/6.66^b$	$77/3.3 \pm 2/6.66^b$	$150/0.0 \pm 5/7.73^a$	

* در هر ردیف علائم غیرمتشابه، نشان‌دهنده اختلاف معنی‌دار ($p < 0.05$) است. داده‌ها براساس Mean \pm SE می‌باشد.



بنابراین، کاهش در تمامی گروه‌های آزمایشی دیده شد. بررسی RI، تفاوت معنی‌داری ($p < 0.05$) بین گروه کنترل و گروه‌های T1، T2 و T3 نشان نداد، درحالی که گروه آزمایشی T4 دارای اختلاف معنی‌داری با گروه کنترل و هر سه گروه آزمایشی T1، T2 و T3 بود. در نتیجه، RI تنها در گروه آزمایشی T4، منفی بود. بررسی‌های آماری در رابطه با SI نشان داد تمامی گروه‌های آزمایشی (T1، T2، T3)، دارای اختلاف معنی‌دار با گروه کنترل هستند. همچنین تمامی گروه‌های آزمایشی، کاهشی در SI نشان دادند، درحالی که بین گروه‌های آزمایشی، اختلاف معنی‌داری مشاهده نشد (جدول شماره ۲).

ضریب تمایز لوله‌ای (TDI) در لوله‌های اسپرم‌ساز در تمامی گروه‌های آزمون نسبت به گروه کنترل، کاهش معنی‌داری نشان داد ($p < 0.05$). گروه آزمایشی T1 با تمامی گروه‌ها به غیر از گروه T3، اختلاف معنی‌داری داشت. گروه آزمایشی T4 نیز به استثنای گروه T3 با بقیه گروه‌ها، اختلاف معنی‌داری نشان داد. گروه‌های آزمایشی T1 و T2، کاهش شدید و گروه‌های T3 و T4، افزایش ناچیزی را در TDI نشان دادند. مطالعه درصد اسپرمیوژن (SPI)، نشان‌دهنده اختلاف معنی‌دار بین گروه کنترل و تمامی گروه‌های آزمایشی بود؛ درحالی که بین هیچ کدام از گروه‌های آزمایشی، اختلاف معنی‌داری وجود نداشت.

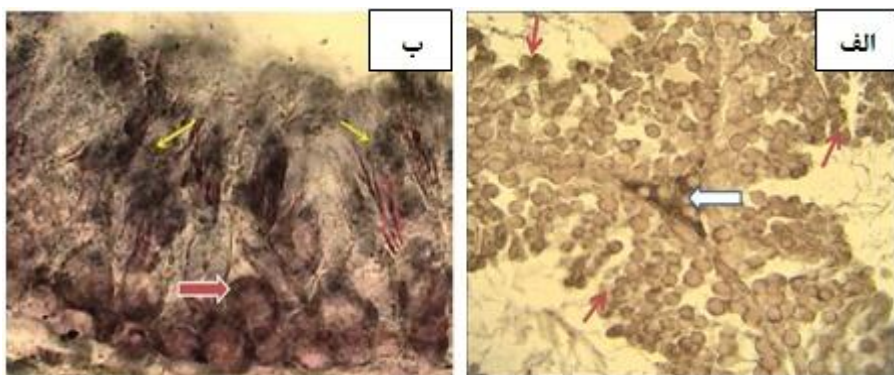
جدول شماره ۲: ارزیابی اسپرماتوژن در گروه کنترل و گروه‌های آزمایشی

پارامترها	گروه‌ها	کنترل (C)	گروه ۱ (T1)	گروه ۲ (T2)	گروه ۳ (T3)	گروه ۴ (T4)
ضریب تمایز لوله‌ای (TDI)	$94/23 \pm 0/874^a$	$59/00 \pm 1/732^b$	$51/00 \pm 2/081^c$	$62/00 \pm 1/154^b$	$68/00 \pm 1/732^d$	
ضریب اسپرمیوژن (SPI)	$98/52 \pm 0/408^a$	$83/20 \pm 1/890^b$	$76/37 \pm 1/201^b$	$76/37 \pm 0/578^b$	$76/66 \pm 2/403^b$	
ضریب جایگزینی مجدد اسپرماتوگونی‌های فعال (RI)	$6/90 \pm 0/398^a$	$6/57 \pm 0/232^a$	$8/11 \pm 0/308^a$	$6/50 \pm 0/288^a$	$4/27 \pm 0/494^b$	
اندیکس سلول‌های سرتولی (SI)	$18/42 \pm 0/546^a$	$16/58 \pm 0/316^b$	$18/16 \pm 0/720^b$	$16/52 \pm 0/332^b$	$15/74 \pm 0/640^b$	

*در هر ردیف علائم غیرمتغیر، نشان‌دهنده اختلاف معنی‌دار ($p < 0.05$) است. داده‌ها براساس Mean \pm SE می‌باشد.

نشان داد (شکل شماره ۲).

رنگ‌آمیزی سودان بلاک تجمع چربی و سلول‌های سودان بلاک مثبت را در سلول‌های قاعده‌ای و سلول‌های نزدیک به حفره

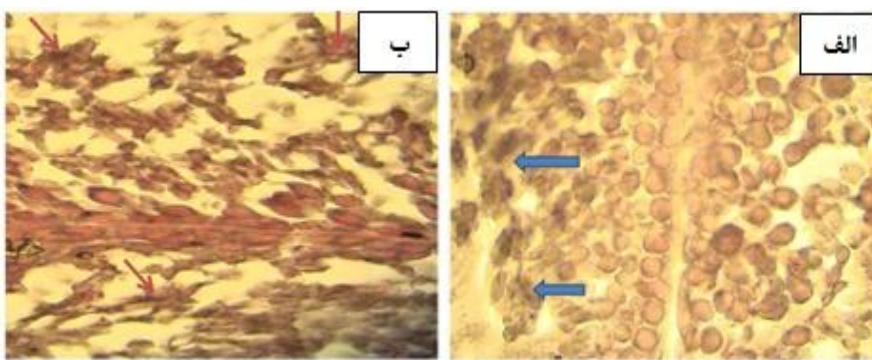


شکل شماره ۲: مقاطع بافتی نواحی سودان بلاک مثبت.

(الف) گروه کنترل: دانه‌های سیاه ریز مربوط به چربی‌ها که در رده‌های سلوالی نزدیک حفره لوله قرار دارند، دیده می‌شوند. فلش سفید سلول‌های سودان بلاک مثبت و فلش‌های قرمز سلول‌های آلکالین فسفاتاز مثبت را نشان می‌دهد (رنگ‌آمیزی سودان بلاک، بزرگنمایی $400\times$). (ب) گروه آزمایشی ۲: دانه‌های سیاه ریز مربوط به چربی در سلول‌های قاعده‌ای و سلول‌های نزدیک حفره لوله دیده می‌شوند. فلش‌های زرد رنگ سلول‌های اسپرماتید سودان بلاک مثبت و فلش قرمز رنگ سلول‌های اسپرماتوسیت نوع یک سودان بلاک مثبت را نشان می‌دهد (رنگ‌آمیزی سودان بلاک، بزرگنمایی $1000\times$).

اسپرماتوژن، دانه‌های ریز قهوه‌ای بهوضوح مشاهده گردید (شکل شماره ۳).

در واکنش آلکالین فسفاتاز مربوط به گروه‌های آزمایشی، در سلول‌های قاعده‌ای و نزدیک به حفره سلول‌های سری



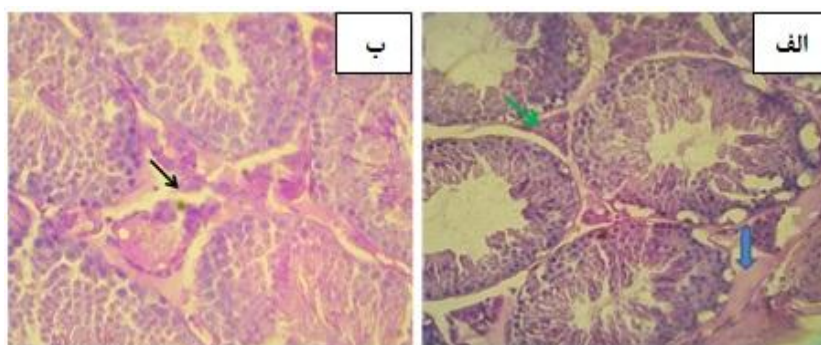
شکل شماره ۳: مقاطع بافتی نواحی دارای آنزیم آلتالین فسفاتاز.

الف) گروه کنترل: سلول‌های آلتالین فسفات مثبت در نزدیکی حفره لوله با فلش آبی رنگ نشان داده است. (رنگ آمیزی آلتالین فسفاتاز، بزرگنمایی X ۴۰۰)

ب) گروه آزمایشی ۲: در بخش قاعده‌ای و نزدیک حفره لوله سمنی فر، دانه‌های آلتالین فسفاتاز مثبت با فلش قرمز رنگ مشاهده می‌شوند. (رنگ آمیزی آلتالین فسفاتاز، بزرگنمایی X ۱۰۰۰)

همچنین ادم در بافت بینایینی لوله‌ها و عدم انسجام در سلول‌های لیدیک مشاهده گردید (شکل شماره ۴).

مشاهدات شیمی بافت در رنگ آمیزی پاس، حاکی از به هم خوردگی محدودی در انسجام سلول‌های زایگر لوله‌های مختلف سمنی فر بود.



شکل شماره ۴: مقاطع بافتی واکنش PAS.

الف) گروه کنترل: فلش آبی رنگ بافت بینایینی و فلش سبز، رنگ سلول‌های لیدیک را نشان می‌دهند. (رنگ آمیزی PAS، بزرگنمایی X ۴۰۰)

ب) گروه آزمایشی ۴: ادم در بافت بینایینی و عدم انسجام در سلول‌های لیدیک دیده می‌شود. (رنگ آمیزی PAS، بزرگنمایی X ۱۰۰۰)

اسperm در رت‌ها اعمال می‌کنند، وجود دارد (۱۸).

این آنتی‌بیوتیک‌ها دارای زنجیره متیل‌تری‌ترازول (Methylthiotetrazol، MTT) هستند که باعث آتروفی بیضه در رت‌های نابالغ می‌شود و زمانی که زنجیره MTT را از دست می‌دهند، دیگر این اثر را ندارد. سفونیسید (Cefonicid) که نوعی سفالوسپورین بوده و دارای یک زنجیره MTT تغییریافته است، هیچ اثر سوئی بر سیستم تناسلی نر در رت‌های بالغ، جوان و نابالغ ندارد (۱۹). مطالعه‌ای نشان داده است تزریق سفووتان (Cefotetan) در رت‌های جوان منجر به کاهش وزن بیضه، افزایش اسperm‌های غیرطبیعی، آتروفی اپی‌تیلیوم زایگر لوله‌های اسperm‌ساز، آتروفی اپیدیدیم و کاهش در تعداد اسperm‌اتوزوآمی شود.

بحث

سفتریاکسون، آنتی‌بیوتیک مربوط به خانواده سفالوسپورین‌ها می‌باشد که علیه بروسلا ملیتیس (۱۳) و استرپتوكوکوس فکالیس (۱۴) مؤثر است و در طب انسانی نیز از آن برای درمان عفونت‌های تنفسی و مجاری ادراری استفاده می‌شود. این آنتی‌بیوتیک مانند سایر سفالوسپورین‌ها با اختلال در سنتر دیواره سلولی از طریق ممانعت از سنتر پپتید و گلیکان، سبب تخریب باکتری می‌شود (۱۵). سفالوسپورین‌ها با اینکه ممکن است مقاومت دارویی شدیدی را در فرد ایجاد نکنند، اما ریسک ایجاد اثرات جانبی در آنها بالا می‌باشد (۱۶، ۱۷). مطالعاتی مبنی بر اینکه، سفالوسپورین‌ها اثرات توکسیک را بر بافت بیضه و کاهش تولید

این اثرات جانبی می‌توانند به دلیل گرایش آن برای تولید رادیکال‌های آزاد باشد. در مطالعه‌ای استفاده از این آنتی‌بیوتیک، افزایشی را در تعداد اسperm‌های مرده و غیرعادی، بدون تغییر مهم در تحرك اسperm نشان داد (۳۰). همچنین استفاده از آنتی‌بیوتیک دوکسوروپیسین باعث نابودی سلول‌های جنسی طی اسpermatoژنز و کاهش شدید در ضربی تمایز لوله‌ای (TDI) می‌شود، و به دلیل نابودی سلول‌های جنسی، ضربی اسpermatoژنز (SPI) نیز به طور وسیعی کاهش می‌یابد (۳۱). بررسی‌های بافت‌شناسی در مطالعه حاضر نشان داد تعداد سلول‌های سرتولی در بافت بیضه گروه‌های آزمایشی در سطح معنی‌داری در مقایسه با گروه کنترل کاهش می‌یابد، این در حالی است که موش‌های گروه آزمایش در سطح قابل توجهی دچار از هم گسیختگی سلول‌های ژرمینال شده‌اند. بنابراین، کاهش نمایه تمایز لوله‌ای (TDI) و جایگزینی سلول‌های اسpermatoژونی (RI) در گروه‌های آزمایشی در مقایسه با گروه کنترل قابل توجیه است.

ارتباط عملکردی بسیاری بین سلول‌های لیدیک، سرتولی و درنهایت، بین سلول‌های سرتولی و سلول‌های زایگر وجود دارد. سلول‌های لیدیک، فعالیت‌های فیزیولوژیکی سلول‌های سرتولی را از طریق سنتر تستوسترون کنترل می‌کنند (۳۲، ۳۳). همچنین هورمون تستوسترون با اثر مستقیم بر روی سلول‌های سرتولی، ترشح مایع لوله‌ای و پروتئین‌های متعددی نظیر فاکتورهای رشد و ترانسفرین، نقش ویژه‌ای را در تغذیه سلول‌های جنسی در حال تقسیم و در نهایت، تولید اسperm بر عهده دارد (۳۴). در این مطالعه سلول‌های لیدیک در گروه‌های آزمایشی پس از تجویز سفتریاکسون، به طور معنی‌داری کاهش پیدا کرد و در پی آن سلول‌های سرتولی در گروه‌های آزمایشی در مقایسه با گروه کنترل، به طور معنی‌داری کاهش یافت، لذا می‌توان نتیجه گرفت کاهش جمعیت و یا اختلال کارکردی سلول‌های لیدیک در پی تجویز سفتریاکسون منجر به کاهش سطح سرمی تستوسترون شده و کاهش تستوسترون نیز منجر به کاهش سلول‌های سرتولی و متعاقباً عدم یک پارچگی اپی‌تیلوم زایگر می‌شود.

برمبنای مطالعات پیشین، سفتریاکسون باعث کاهش معنی‌داری در غلظت اسperm و حجم منی در قوق می‌شود (۱۵). این اثر سفتریاکسون در کاهش اسperm را به علت اثر ممانعت کنندگی آن از

در حالی که سفتریوم (Cefperiome)، هیچ تأثیری بر تکامل بافت تناسلی نر ندارد (۲۰). آنتی‌بیوتیک‌هایی که دارای زنجیره ان-متیل-تترازیول هستند، باعث دژنراسیون بافت بیضه می‌شوند (۲۱). طبق مطالعات انجام‌شده، بیشینه غلظت پلاسمایی سفتریاکسون (که به مدت ۶۰ روز و دوز روزانه ۲۵ میلی‌گرم به‌ازای هر کیلوگرم و به صورت داخل عضلانی تزریق شده است) در روز چهاردهم می‌باشد (۲۲)، در صورتی که بررسی‌های چرخه فارماکولوژیکی این دارو، بیشترین اثر بیولوژیکی آن را بر بافت بیضه، در روز هفتم نشان داده است. در مطالعه‌ای دیگر، تراکم عروق خونی و ادم در بافت بینایینی بیضه، بی‌نظمی سلول‌های جنسی در لوله‌های سمنی فر و چین خوردگی در غشاء پایه برخی از لوله‌ها در رت‌های تیمارشده با سفوتاکسیم مشاهده گردید (۲۳).

در مطالعه حاضر اگرچه در گروه‌های تحت درمان با سفتریاکسون، کاهش معنی‌داری در قطر لوله‌ای اسperm‌ساز مشاهده شد، اما ضخامت بافت بینایینی در این گروه‌ها افزایش نشان داد که می‌تواند مربوط به ایجاد ادم قابل توجه و یا کاهش قطر لوله‌های منی‌ساز باشد. خیز بافتی در اثر افزایش نفوذپذیری عروق خونی پدید می‌آید. براساس گزارشها، ماستسل‌ها در این پدیده دخالت دارند (۲۴). به هم خوردن تنظیم جریان خون و نفوذپذیری عروقی خونی به دلیل بهم خوردن تعادل جمعیتی این سلول‌ها در پی مصرف داروی مذبور، محتمل به نظر می‌رسد. همچنین ارتباط بین افزایش تعداد ماستسل‌های بیضه‌ای با ناباروری در مطالعه‌ای دیگر گزارش شده است (۲۵). از وظایف مهم سلول‌های سرتولی می‌توان به حفظ یک پارچگی سلول‌های رده اسpermatoژنز، بلوغ سلول‌های جنسی و کمک به اسpermatoژنز اشاره کرد. همچنین این سلول‌ها پروتئین‌های را تولید می‌کنند که تنظیم هورمون‌های هیپوفیزی و از این‌رو فعالیت میتوزی سلول‌های اسpermatoژونی را بر عهده دارند (۲۶). سلول‌های سرتولی در اتصال سلول‌های ژرمینال به‌هم‌دیگر و کنترل فرآیند اسpermatoژنز در بافت پیشه دخالت دارند (۲۷-۲۹). آنتی‌بیوتیکی از نوع آتراسایکلین مانند دوکسوروپیسین (Doxorubicin)، با وجود داشتن اثرات درمانی علیه بسیاری از سرطان‌ها، دارای اثرات جانبی مضر بر روی دستگاه تناسلی نر نیز می‌باشد.

وجود اسپرماتوزوآن بالغ در اکثریت لوله‌های سمنی فر را نشان داد (۳۸). اختلال در متابولیسم گلوكز نیز می‌تواند یکی از دلایل تجمع چربی‌ها در بافت بیضه باشد؛ زیرا گلوكز منبع اصلی تأمین انرژی برای سلول‌های رده اسپرماتوژنر به حساب می‌آید و اختلال در نقل و انتقال متابولیسم آن نیز موجب می‌گردد سلول‌ها از منابع دیگری جهت تأمین انرژی استفاده کنند (۳۹). همچنین گزارشی نشان داد تغییر در اندازه و مقدار ذرات چربی در مقطع عرضی لوله‌های منی‌ساز با میزان تخریب سلول‌های جنسی و تجمع چربی مصرف‌نشده برای بیوستتر هورمون‌های استروئیدی در ارتباط است (۴۰). از آنجاکه تغییرات دژنراتیو در بافت بیضه موجب کاهش مصرف گلوكز و باعث تجمع آن می‌گردد (۴۱)، لذا ممکن است سفتریاکسون با آسیب به انتقال‌دهنده‌ها موجب اختلال در انتقال گلوكز شده که در نهایت، منجر به واکنش مثبت در برابر رنگ‌آمیزی PAS و تجمع گلوكز در سلول‌ها می‌شود. نتایج مطالعات محققین نشان داده است چربی‌ها نقش مهمی در فرآیند اسپرماتوزنر دارند (۴۲). در بافت بیضه موش‌های صحرایی نیز میزان چربی‌های موجود در سلول‌های سرتولی، ارتباط تنگاتنگی با چرخه اسپرماتوزنر دارند و نشان‌دهنده این است که فعالیت‌های متابولیکی همانهنجار این سلول‌ها با چرخه اسپرماتوزنر برای حفظ فرآیند تکثیر و بلوغ سلول‌های جنسی، لازم و ضروری است (۴۳).

نتایج حاصل از مطالعه چربی‌ها در این تحقیق، نشان‌دهنده اباست آنها در پی استفاده از سفتریاکسون در سلول‌های لیدیک، همچنین در سلول‌های سری اسپرماتوزنر بود. به دلیل ارتباط بین دژنراسیون سلول‌های زایگر بیضه و فعالیت آنزیم آلکالین فسفاتاز در بیضه رت‌های دارای عارضه واریکوسل، مشخص شده است فعالیت این آنزیم با دژنراسیون سلول‌های زایگر بیضه افزایش می‌یابد (۴۴). از این‌رو وجود آلکالین فسفاتاز در سلول‌های گروه‌های آزمایشی، قابل توجیه است.

نتیجه‌گیری

نتایج این مطالعه نشان داد سفتریاکسون سبب اختلال در عملکرد و ساختار بافت بیضه می‌شود. این اختلال از طریق عدم انسجام سلول‌های زایگر، سلول‌های سری اسپرماتوزنر و سلول‌های سرتولی ایجاد شده و باعث کاهش در روند اسپرماتوزنر و

تقسیم میوز و میتوز در سلول‌های سری اسپرماتوزنر می‌دانند (۵). همچنین تجویز سفتریاکسون باعث افزایش فعالیت آنزیم هیالورونیداز در اسپرم‌های تازه تشکیل شده می‌شود که در بی این عمل در بافت بیضه و سلول‌های سری اسپرماتوزنر، آسیب به وجود می‌آید (۱۵). کاهش معنی دار در تعداد و تحرک اسپرم رت‌های تحت تیمار با سفوتاکسیم که خود یکی از سفالوسپورین‌ها می‌باشد نیز دیده شده است (۲۳)، این یافته با نتایج Diab و Fahmy که نشان دادند با مصرف سفوتاکسیم تعداد اسپرم‌های دارای ناهنجاری در حالت وابسته به دوز بیشتر می‌شود، همخوانی دارد (۳۵). بلوغ اسپرماتید و اسپرمیوژنر، وابسته به سلول‌های سرتولی بوده و از طرفی نیز اتصال بین سلول‌های اسپرماتید گرد به سلول‌های سرتولی، وابسته به تستوسترون می‌باشد (۳۶). بنابراین، کاهش تستوسترون و ریزش سلول‌های جنسی بالغ و نیز آسیب سلول‌های سرتولی باعث اختلال در روند اسپرمیوژنر می‌شود، درنتیجه کاهش معنی داری در نمایه اسپرمیوژنر در گروه‌های آزمایشی در مقایسه با گروه کنترل به وجود می‌آید که چنین نتایجی در این مطالعه نیز دیده شد. در مقابل، مطالعه‌ای نشان داد ترکیب استفاده شده از سفتریاکسون - وانکومایسین در موش آلبینو در گناده‌های جنسی هر دو جنس نر و ماده در دوز ثابت، هیچ اثر سمی بر جای نمی‌گذارد (۳۷).

به منظور بررسی تغییرات اندامک‌های سیتوپلاسمی سلول‌های بیضه (مثل سلول‌های سری اسپرماتوزنر) و رابطه بین این تغییرات آسیبی، از روش‌های هیستوشیمیابی PAS، سودان بلاک و آلکالین فسفاتاز استفاده شد. نتایج این بررسی، تغییرات مشخصی را در ذخایر بیوشیمیابی سلول‌های بافت بیضه موش‌های سوری دریافت کننده سفتریاکسون نشان داد. در این بررسی میزان کربوهیدراتات داخل سیتوپلاسمی در رده اسپرماتوزنر نسبت به گروه کنترل افزایش نشان داد. نتایج حاصل از بررسی هیستوشیمیابی، به منظور ردیابی لیپیدها در بافت بیضه نشان داد دربی تزریق سفتریاکسون در موش‌های سوری بالغ، میزان تجمع چربی در سلول‌های رده اسپرماتوزنر و سلول‌های سوماتیک لوله‌های اسپرم‌ساز (سلول‌های سرتولی) افزایش می‌یابد. در مطالعه‌ای دیگر، تأثیر سفتیوفور (Ceftiofur) در رت‌های آلبینو؛ واکوئله شدن سلول‌های اسپرماتوگونی، ادم در فضای بین لوله‌ها،

تشکر و قدردانی

این تحقیق با کمک مالی معاونت محترم پژوهشی دانشگاه ارومیه (کد پایان‌نامه: ۱۲۲۳) و با مساعدت‌های ریاست و معاونت پژوهشی دانشکده دامپزشکی، دانشگاه ارومیه انجام گرفته است که بدین وسیله از آنها تقدیر می‌شود. از اعضای آزمایشگاه‌های بافت‌شناسی و جنین‌شناسی دانشکده نیز به خاطر مساعدت‌های تکنیکی تقدیر و تشکر می‌گردد.

اسپرمیوزنر می‌شود. بنابراین، در استفاده از داروی مذکور برای درمان بیماری‌ها و عفونت‌ها، جانب احتیاط باید رعایت گردد که البته دوز مصرفی، بسیار تعیین‌کننده است. مطالعه درخصوص مکانیسم‌های اثر این دارو بر بافت بیضه نیز نیاز به مطالعات بیشتری دارد که امید است در پژوهش‌های آتی مورد توجه قرار گیرند.

References:

1. Toovey S, Hudson E, Hendry WF, Levi AJ. Sulphasalazine and male infertility: reversibility and possible mechanism. Gut 1981;22(6):445-51.
2. Carlsen E, Giwercman A, Keiding N, Shakkebaek NE. Evidence for decreasing quality of semen during past 50 years. BMJ 1992;305(6854):609-13.
3. Jorgensen N, Carlsen E, Nermoen I, Punab M, Suominen J, Anderson AG, et al. East-west gradient in semen quality in the Nordic-Baltic area: a study of men from the general population in Denmark, Norway, Estonia and Finland. Hum Reprod 2002;17(8):2199-208.
4. Hargreaves C, Rogers S, Hills F, Rahman F, Howell R, Homa S. Effect of co-trimoxazole, erythromycin, Amoxycillin, tetracycline and chloroquine on sperm function in vitro. Hum Reprod 1998;13(7):1878-86.
5. Timmermans LM. Modifications in spermatogenesis following antibiotic therapy. Acta Urol Belg 1989;57(1):35-46.
6. Eljaja L, Ole JB, Honore PH, Bjarke A. Effects of the excitatory amino acid transporter subtype 2 (EAAT-2) inducer ceftriaxone on different pain modalities in rat. Scand J Pain 2011;2(3):132-6.
7. Shiffman ML, Keith FB, Moore EW. Pathogenesis of ceftriaxone-associated biliary sludge. In vitro studies of calciumceftriaxone binding and solubility. Gastroenterol 1990;99(6):1772-8.
8. Chutipongtanate S, Thongbookknerd V. Ceftriaxon crystallization and its potential role in kidney stone formation. Biochem Biophys Res Commun 2011;406(3):396-402.
9. Peker E, Cagan E, Dogan M. Ceftriaxone-induced toxic hepatitis. World J Gastroenterol 2009;15(21):2669-71.
10. Dabadie H, Brossard G, Raptopoulo F, Paccalin J. Probable role of ceftriaxone in the induction of hypoprothrombinemia. Therapie 1986;41(5):404-8.
11. Tanyildizi S, Türk G. The effects of diminazene aceturate and ceftriaxone on ram sperm. Theriogenol 2004;15;61(3):529-35.
12. Mahmoud NA, El-Sawy ASF, El-Ashmawy IM. Effects of ceftriaxone on reproductive and biochemical aspects of male rats. Alexandria J Vet Sci 2011;33(1):43-50.
13. Varon E, Cohen R, Bouhanna CA, Canet J, Janaud JC, Geslin P. Brucellosis in a 3-month-old infant. Arch Fr de Pediatr 1990;47(8):587-90.
14. Sahm DF, Baker CN, Jones RN, Thornsberry C. Influence of growth medium on the in vitro activities of second and third generation cephalosporins against *Streptococcus faecalis*. J Clin Microbiol 1984;20(3):561-7.

15. Sadettin T, Gaffari T. The effects of diminazene aceturate and ceftriaxone on ram sperm. Theriogenol 2003;61(2-3):529-35.
16. Yao Y, Zhou R, Wang Y. Fatal adverse effects of injected ceftriaxone sodium in China. Pharmacoepidemiol Drug Saf 2012;21(11):1197-201.
17. Romano A, Caubet JC. Antibiotic allergies in children and adults: from clinical symptoms to skin testing diagnosis. J Allergy Clin Immunol Pract 2014;2(1):3-12.
18. El-Homosany SR, El-Ashmawy IM, El-Sawy ASF. Adverse effects of cefotaxime on male rats. Alexandria J Vet Sci 2012;35(1):31-40.
19. Manson JM, Zolna LE, Kang YJ, Johnson CM. Effects of cefonicid and other cephalosporin antibiotics on male sexual development in rats. Antimicrob Agents Chemother 1987;31(7):991-7.
20. Akaike M, Inazu M, Ohno H, Takayama K, Omosu M, Kobayashi T. Effects of cefpirome sulfate on male sexual development in rats. J Toxicol Sci 1990;15(3):109-27.
21. Comereski CR, Bregman CL, Buroker RA. Testicular toxicity of N-methyltetrazolethiol cephalosporin analogs in the juvenile rat. Fundam Appl Toxicol 1987;8(2):209-80.
22. Datta BK, Mandal TK, Chakraborty A. Residual effect of ceftriaxone in black Bengal goats after long term intramuscular administration. Int J Pharm Biol Sci 2011;2(4):297-307.
23. El-Maddawy ZK, Bogzil AH. Adverse effects of cefotaxime sodium in comparison with ceftiofur sodium in male rats. Int J Pharm Life Sci 2015;6(3):4291-303.
24. Jones DT, Taylor WR, Thornton JM. A mutation data matrix for transmembrane proteins. FEBS lett 1994;339(3):269-75.
25. Roaiah MMF, Khatab H, Mostafa T. Mast cells in testicular biopsies of azoospermic men. J Andrologia 2007;39(5):185-9.
26. Johnson L, Thompson Jr D, Varner DD. Role of sertoli cell number and function on regulation of spermatogenesis. Anim Reprod Sci 2008;105(1-2):23-51.
27. Rossi GL, Aeschlimann CA. Morphometric studies of pituitary glands and testes in rats with streptozotocin-induced. Androl 1982;14(6):532-42.
28. Razi M, Sadrkhanlou RA, Malekinejad H, sarafzadeh A. The varicocele time-dependently affects the DNA integrity of sperm cell: evidence for lower in vitro fertilization rate in varicocele-positive rats. Int J fertil steril 2011;5(3):174-85.
29. Razi M, Malekinejad H, Sadrkhanlou RA, Sarafzadeh Rezaei F. Histological impact of long time varicocele-induction on right and left testes in rat (Evidence for the Reduction of sperm Quality and Mating Abilities. Vet Res Forum 2011;2(3):189-201.
30. Badkoobeh P, Parivar K, Kalantar SM, Hosseini SD, Salabat A. Effect of nano-zinc oxide on doxorubicin-induced oxidative stress and sperm disorders in adult male Wistar rats. Iran J Reprod Med 2013;11(5):355-64.
31. Shalizar Jalali A, Hasanzadeh Sh. Crataegus monogyna fruit aqueous extract as a protective agent against doxorubicin-induced reproductive toxicity in male rats. Avicenna J Phytomed 2013;3(2)159-70.
32. Sarkar R, Mohanakumar KP, Choowdhury D. Effect of an organophosphate pesticide, quinalphos, on the hypothalamo-pituitary-gonadal axis in adult male rats. J Reprod Fertil 2000;118(1):29-38.
33. Shan LX, Zhu LJ, Bardin CW, Hady M. Quantitative analysis of androgen receptor messenger ribonucleic acid in developing leydig cells and Sertoli cells by in situ hybridization. Androl 1995;136(9):3856-62.

34. Hosseini SE, Bastamoor F, Sadeghi H. Effect of Hydro-Alcoholic extract of parsley (*Petroselinum Crispum*) leaf on the testicle tissue and sexual dynastic cells of adult male rats. *J Babol Univ Med Sci* 2014;16(9):36-42. [Full Text in Persian]
35. Fahmy MA, Diab KAE. In vivo genotoxicity studies of cefotaxime. *Cytologia Tokyo* 2010;74(4):417-25.
36. Sanberg PR, Cameron DF, Borlongan CV. Sertoli cell as transplantation facilitator for cell transplantation. US Patent No. 6,649,160. Washington, DC: U.S. Patent and Trademark Office; 2003.
37. Chaudhary M, Shrivastava S, Sehgal R. Subchronic toxicity study of fixed dose combination of ceftriaxone-vancomycin in swiss albino mice. *J Drug Vaccine Saf* 2007.
38. Shaheen HM, Sawsan ME, Alkelch AM, Naima AA. Studies on some side effects of cephalosporins: Studying the teratogenic effects of ceftiofur sodium. 1st Sciences Congress for Provincial Laboraties; 2000. p. 56-68.
39. Farooqui SM, Al-Beghdadi F, ODonnel JM, Stout R. Degenerative changes in spermatogonia are associated with loss of glucose transporter (Glut 3) in abdominal testis of surgically induced unilateral cryptorchidism in rats. *Biochem Biophys Res Commun* 1997;236(2):407-12.
40. Qin DN, Lung MA. Studies on the relationship between testicular capsule and sperm transport in the rat testis. *Asian J Androl* 2000;2(3):191-8.
41. Lear L, Nation RL, Stupans I. Effects of cyclophosphamide ana adriamycin on rat hepatic microsomal glucuronidation and lipid peroxidation. *Biochem Pharm* 1992;44(4):747-53.
42. George J, Ambadkar D. Histochemical demonstraiton of lipid and lipase activity in rat testis. *J Histochem Cytochem* 1963;11(3):420-5.
43. Kerr JR, Mayberry RA, Irby DC. Morphometric studies on lipid inclusions in Sertoli cells during the spermatogenic cycle in the rat. *Cell Tissue Res* 1984;236(3):699-709.
44. Bakhtiary Z, Shahrooz R, Ahmadi A, Soltanalinejad F. Protective effects of crocin on testes of adult cyclophosphamide treated mice. *Yasuj Univ Med Sci J* 2013;19(84):12-23. [Full Text in Persian]